

## ١-١) مقدمة

تعد الشمس مصدراً أساسياً للطاقة على سطح الأرض . فقد حبا الله سبحانه وتعالى الوطن العربي على مدار السنة وفيراً من هذا المصدر الهام للطاقة . ونظراً لأن الطاقة المستمدّة من مصادر أخرى كالوقود الأحفوري والمفاعلات النووية ، يصاحبها تلوث للبيئة تعود انعكاساته السلبية على كل الكائنات الحيةبود المستهلكون وعلى المدى البعيد معرفة إمكانية تطور إنتاج الخلايا الشمسية التي يعتمد عملها على الظاهرة الفوتوفولطائية. شهدت بداية السبعينات فترة إبداعية لتطوير الخلية السيليكونية مع تزايد واضح في كفاءة تحويل الطاقة . وفي نهاية السبعينات فاق حجم الخلايا المنتجة للإستخدامات الأرضية تلك المنتجة للإستخدامات الفضائية وفي بداية الثمانينات بدأ إنتاج تجاري لتقنيات أحدث تهدف إلى خفض تكاليف الخلايا الشمسية وهذا الإنخفاض في الأسعار يشجع التوسع المستمر في التطبيقات لاستغلال الطاقة الشمسية.

أما تأثير ضوء الليزر على أداء الخلية الشمسية فلم يحظ بكثير من الإهتمام ولغرض معرفة هذا التأثير لابد من عرض بسيط لعمل جهاز الليزر وأنواعه وخصائصه والذي سأطرق له في الفصل الثالث من هذا البحث .

## ١-٢) أهداف البحث

- 1/ دراسة تأثير ضوء الليزر على أداء الخلية السيليكونية.
- 2/ التحقق من إمكانية زيادة أو نقصان كفاءة الخلية السيليكونية عند تعريضها لضوء الليزر .
- 3/ دراسة تأثير ضوء الليزر على الخواص الكهربائية للخلية السيليكونية.

## ١-٣) مشكلة البحث

زيادة كفاءة الخلية الشمسية بإستخدام ضوء ليزر الهيليوم نيون

## 1-4) محتوى البحث

يحتوي هذا البحث على اربع أبواب

الباب الأول مقدمه، الباب الثاني الخلايا الشمسية، الباب الثالث الليزر، الباب الرابع العملي.

## 2-1) مقدمه :

بدأت فكرة تصنيع الخلايا الشمسية من ملاحظة التأثير الكهروضوئي الذي يوضح ابعاث الالكترونات من سطح الفلزات عندما تتعرض للحرارة وقد لاحظ هذه الظاهرة العالم الفرنسي بيكرييل عام 1839 م ولقد تم تصنيع أول خلية شمسية عام 1914 م وكانت كفاعتها 1% ووصلت إلى 6% عام 1954 م وإلي 14% عام 1958 م العنصر الأساسي في صناعة الخلايا الشمسية هي المواد شبه الموصلة (semiconductor) مثل السليكون والجرمانيوم [1].

## 2-2) تعریف الخلايا الشمسية : solar cells

هي الوحدة الأساسية لتحويل الطاقة الشمسية إلى طاقة كهربائية وتصنع هذه الخلايا من أشباه الموصلات وتلتقي في كثير من مواصفاتها مع أجهزة الحالة الصلبة الأخرى كالصمام الثنائي Diode أو الترانزistor والدوائر المتكاملة integrated circutes أما في التطبقات العملية، فعادة ما تجمع الخلايا الشمسية في ألواح مركبة [2].

## 2-3) مكونات الخلية الشمسية :

تتكون من :

1. مادة شبه موصلة تعمل على توليد حوامل الشحنة (الإلكترونات والثقوب) بفعل امتصاصها لأشعة الشمس .
2. مجال كهربائي يعمل على فصل حوامل الشحنة ودفعها إلى أماكن تجمعها وبالتالي مرور التيار الكهربائي ويفترن المجال الكهربائي دائماً ب حاجز جهد يرتبط بالفرق بين مستويين فيرمي لمنطقتين وهذا يمكن اختبار المكونات الكهروضوئية ولا يمكن استعمال العوازل لأنها لا توصل التيار، ولا المعادن فقط لأن الفارق بين مستويات

فيري لـها يكون ضئيلاً ، وبهذا يقع الاختيار على المواد شـبه الموصلة

[3].semiconductors

#### 2-4) إنتاج الخلايا الشمسية :

معظم التطبيقات الفولتتصوئية الأرضية مستندة إلى الخلايا الشمسية السليكونية ، والسيـليكون هو العنصر الثاني الأكثر وفرة للبشرة الأرضية ، له تركيب بلوري مستقر ، وبالتالي فهو يمتلك عمراً زمنياً عالياً جداً (أكثر من 25 سنة) وطاقة شـريط الفجوة للسيـليكون نسبياً مناسبة جداً لتحويل الطيف الشـمسي إلى طاقة كـهـرـيـائـيـة. عملية التخلص من السيـليـكون مشـابـهـةـ لـتـلـكـ الـتـيـ لـلـزـاجـ منـ دونـ مشـاـكـلـ خـطـيرـةـ .

#### 2-4-1) إنتاج السليكون أحـاديـ الـبـلـوـرـةـ :

للـصـنـاعـةـ الـإـلـكـتـرـوـنـيـةـ لـشـبـهـ الـمـوـصـلـ ،ـ لـيـسـ مـطـلـوـبـاـ فـقـطـ بـأـنـ يـكـونـ السـلـيـكـوـنـ نـقـيـاـ بـلـ يـجـبـ أـنـ يـكـونـ أحـاديـ الـبـلـوـرـةـ أـيـضاـ .ـ الطـرـيـقـةـ الـمـسـتـخـدـمـةـ لـصـنـاعـةـ مـثـلـ هـذـهـ مـادـةـ تـسـمـيـ طـرـيـقـةـ (ـتـشـوكـلـاسـكـيـ)ـ (ـczochralskiـ).

يـتمـ صـهـرـ السـلـيـكـوـنـ ذـيـ الـدـرـجـةـ شـبـهـ الـمـوـصـلـ فـيـ بـوـنـقـةـ مـعـ مـسـتـوـيـاتـ بـسـيـطـةـ جـداـ مـعـ ذـرـاتـ التـطـعـيمـ الشـائـبـةـ تـسـتـخـدـمـ عـادـةـ ذـارـتـ الـبـورـونـ كـشـوـائـبـ مـنـ النـوـعـ (ـP.typeـ).

#### 2-4-2) السـلـيـكـوـنـ مـتـعـدـ الـبـلـوـرـاتـ :

يـتمـ صـهـرـ السـلـيـكـوـنـ ذـيـ الـدـرـجـةـ شـبـهـ الـمـوـصـلـ تـحـتـ ضـغـطـ مـنـخـفـضـ ،ـ وـجـونـقـيـ ،ـ ثـمـ يـصـبـ فـيـ بـوـنـقـةـ وـعـلـمـيـةـ التـبـرـيـدـ تـنـمـ بـمـنـكـمـ بـدـرـجـةـ الـحـرـارـةـ وـبـدـلـاـ مـنـ بـلـوـرـةـ وـاحـدـةـ كـبـيرـةـ تـتـكـوـنـ الـقـوـالـبـ مـنـ بـلـوـرـاتـ صـغـيرـةـ عـدـيـدـةـ [4]ـ .ـ

### 2-4-3) السيليكون غير البلوري :

المادة غير البلورية تفتقر إلى المدى الطويل (long range) من الترتيب البنائي للذرات وعند فقدان الترتيب الدوري للمادة يكون من الصعب على كل ذرة أن تتأثر مع أربع ذرات أخرى مما يؤدي إلى حدوث فجوات صغيرة جداً في تركيب المادة وهذا يعني ظهور كثافات عالية من مستويات الطاقة في الفجوة المحظورة الإعتيادية وهذا مما يجعل من المتعذر تعليم شبه الموصل بصوره فعالة أو الحصول على ديمومة مقبولة لحملات الشحنة. ويتم تعليمها بإضافة كميات قليلة من الغازات المحتوية على الشائبة خلال عملية الترسيب .

خلايا شمسية من ثلباه موصلات أخرى:

### 2-4-4) خلايا زرنيخ الكالسيوم :Ga As

مادة Ga As هي شبه موصل ذو فجوة محظورة مثالية لعملية تحويل الطاقة الفوتوفولطائية

إذ توجد تقنية متقدمة ومتقدمة لإنتاج هذه المادة وأكثر الخلايا كفاءة لحد الآن هي المصنوعة من هذه المادة ، ولأو ما في هذه المادة هو سعرها الغالي .

### 2-4-5) خلايا شمسية من نوع $Cu_2S/CdS$ كبريتيد النحاس وكبريتيد الكادميوم:

تمتاز بطريقة صنعها السهلة جداً على شبه موصل كبريتيد الكادميوم المتعدد البلورات وعلى الرغم من أن تقنية تحضيرها تكون رخيصة الكلفة إلا أن كفاءتها واطئه لاتصل إلى 10% وكلفة التغليف المعقده التي تحتاجها لحمايتها من الظروف الجوية تحول دون استعمالها الواسع [5] .

## (2-5) عمل الخلية الشمسية:

يرتكز عمل الخلايا الشمسية على قدرة شبه الموصلات على تحويل ضوء الشمس مباشرة إلى كهرباء ، عبر استغلال المفعول الكهروضوئي في عملية التحويل هذه ، تنتج طاقة الضوء الساقط جسيمات مشحونة ومحركة داخل شبه الموصل ، تعمل عنئذ بنية الجهاز على تفريغها ، مولدة بذلك التيار الكهربائي ، سنستعرض البنية الإلكترونية لشبه الموصل.

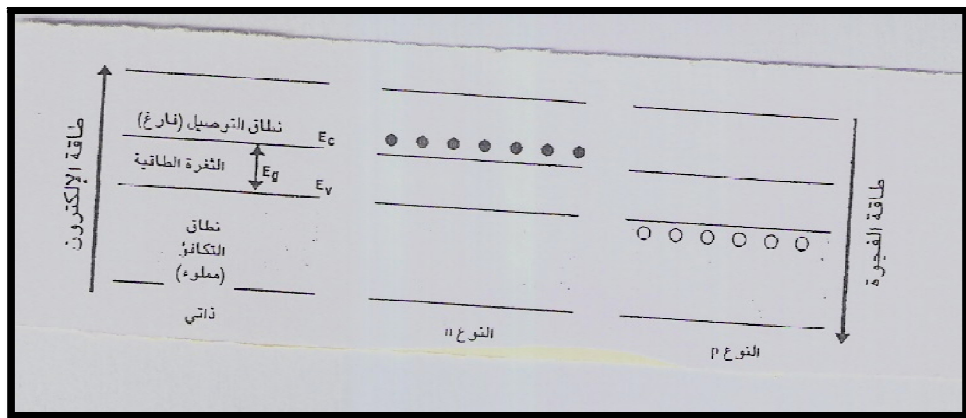
### (1-5-2) البنية الإلكترونية لشبه الموصل:

#### (1-5-2-1) بنية النطاق ، الإنعاش :

يشكل بلور السليكون ما يسمى بسبيكة الماس diamond lattice حيث يحيط بكل ذرة رائعة من أقرب جيرانها من الذرات الموجودة على قمم رباعي السطوح أما التنسيق رباعي السطوح ناتج من ترتيب الروابط التي تستعمل الإلكترونات الأربع الخارجية ( الإلكترونات التكافؤ لكل ذرة من السليكون ) إن لهذه البنية البلورية مفعولاً عميقاً على الخواص الإلكترونية والبصرية optical لشبه الموصل .

حسب نظرية الكم quantum theory يجب أن تقع طاقة الإلكترون داخل البلورة في نطاقات جيدة التحديد وبالفعل تمثل طاقات مدارات التكافؤ التي تكون الروابط بين الذرات نطاق التكافؤ ويتلو هذا النطاق من الأعلى نطاق التوصيل conduction الذي تفصله عن نطاق التكافؤ الثغرة الطاقية (فجوة النطاق

Band gap) أما عرض فجوة النطاق ( $E_v - E_c$ ) فهو خاصية كبيرة الأهمية بالنسبة لشبه الموصل ويرمز لها بالرمز  $E_g$  .



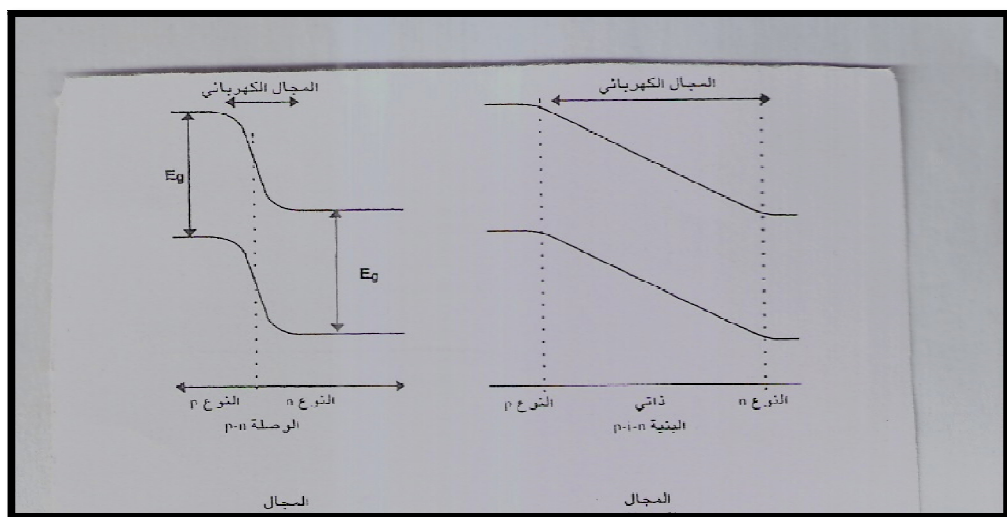
يمكن لشبه الموصل أن يوصل الكهرباء فقط عندما تدخل حاملات الشحنة إلى نطاق التوصيل ، أو باقتلاع هذه من نطاق التكافؤ ، ومن الطرق التي تمكن من ذلك إدخال شائبات على شبه الموصل ، تسمى هذه العملية تشويب Doping . نفترض أن بعض الذرات الشائبة من المجموعة (مثلاً الفسفور ) أضيفت إلى مزيج السيليكون الذي ينمو منه البلور . حينئذ تستعمل أربعة من الإلكترونات الخمس الخارجية لملء نطاق التكافؤ ويدفع بالإلكترون لايند من كل ذرة شائبة إلى نطاق التوصيل (شكل 1-2) لهذه الغاية ، تسمى الذرات الشائبة بالمانحات Donor . وبما أن إلكترونات نطاق التوصيل متحركة ، فإن البلور يصبح موصلًا .

ولأن التيار تتفه الإلكترونات المشحونة سلبياً ، فهذا النوع من شبه الموصل يسمى نوع -n type إن وضعية شبيهة بهذه تتحقق عندما ينشع السيليكون بذرات شائبة من مجموعة 3 (مثلاً البورون ) تسمى عندئذ قابلات Acceptor . وبما أن أربعة الكترونات ضرورية لملء نطاق التكافؤ كلياً ، فإن هذا الإنعاش يخلق خصائصاً في الإلكترونات داخل هذا النطاق شكل (1-2) وتعمل الإلكترونات المفقودة المسممة بالفحوات كجسيمات مشحونة إيجابياً ، تتحرك و تتفه التيار شبه موصل كهذا ، ينقل التيار فيه بالفحوات غالباً ، ويطلق عليه اسم نوع p-type تسمى حاملات الشحنة المسيطرة عدداً في شبه موصل بالحملات

الأغلبية. Majority carriers . أمثلة من الحاملات الأغلبية تعطيها الإلكترونات في شبه موصل من نوع  $n$ - والفجوات من نوع  $p$ - أما نوع الحاملات المقابل والذي تكون كثافته أقل بكثير فيطلق عليه اسم حاملات الأقلية Minority carries .

### 2-5-1-2) وصلات شبه الموصل :

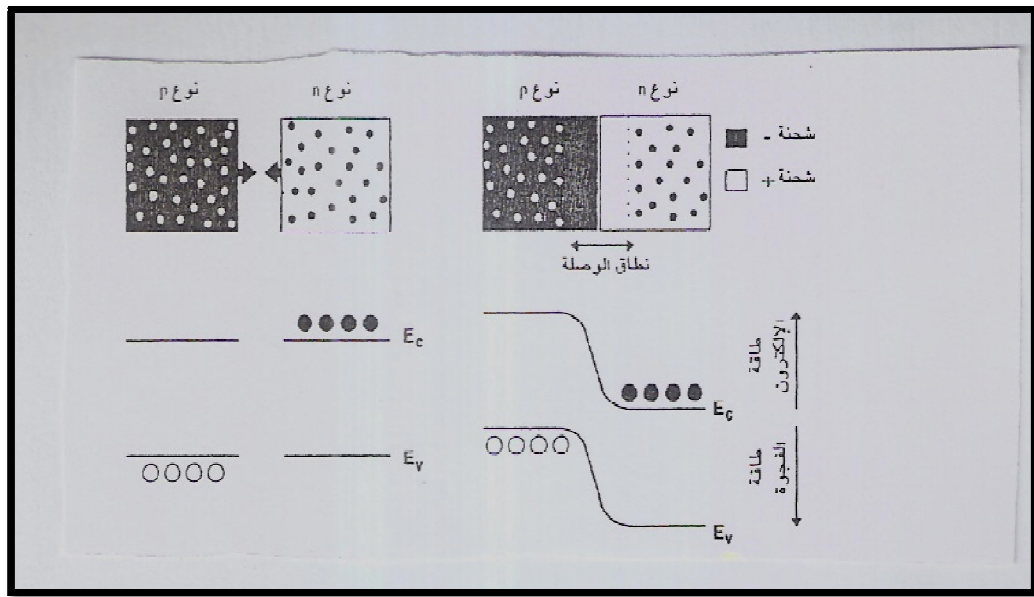
يرتكز عمل الخلايا الشمسية على تكون وصلة ويظهر الشكل (2-2) أمثلة لوصلات متعددة وقد تكون أبسطها وصلة  $p-n$  التي تشكل سطحاً مشتركاً بين منطقتين  $n$  و  $p$  في شبه الموصل في بعض الأحيان ترعرع طبقة من مادة ذاتية بين منطقتين من نوعي  $n$  و  $p$  حيث ينبع من ذلك اتساع في المنطقة الإنقالية و يقابل الوصلات المتجاسة هذه ، الوصلة غير المتجاسة المكونة من شبه موصلين مختلفين لاحظ الفرق في فجوات النطاق على كلتا واجهتي الوصلة .



شكل (2-2) مخطط النطاقات لوصلات شبه الموصل

من الممكن أن يشكل السطح المشترك بين فلز وشبه موصل وصلة تسمى حاجز شوتكي على العموم ، تتوقف خاصيات التماس بين الفلز (معدن) وشبه الموصل على المواد المستعملة ذاتها لكل شبه موصل هنالك فلزات (معدن) تكون معه حاجز شوتكي ،

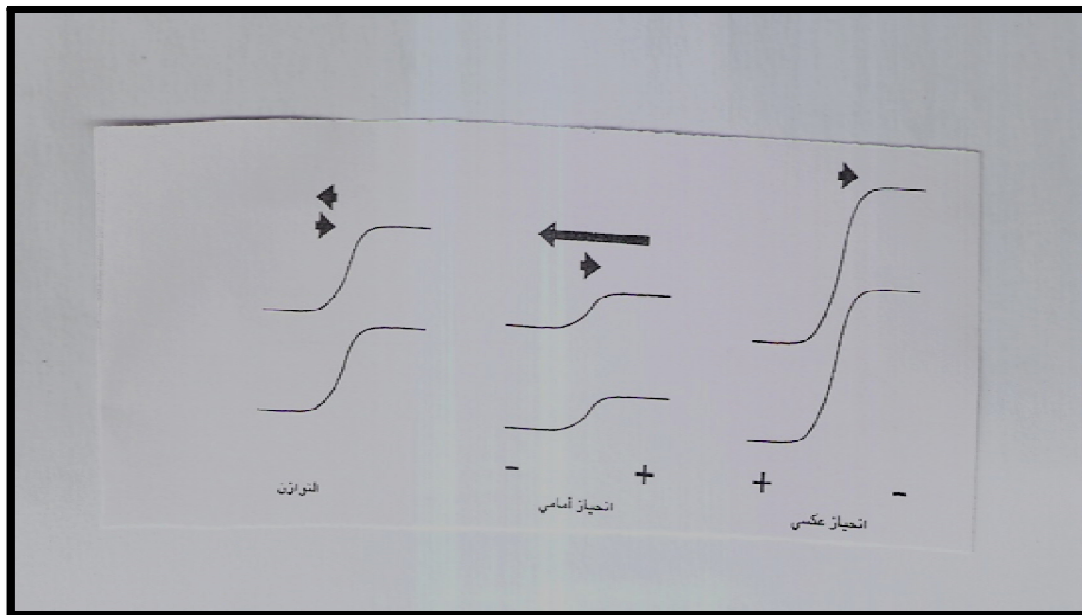
وستعمل هذه التماسات لاستخراج تيار كهربائي من الجهاز. لتوضيح كيفية تكون هذا المجال نتصور الوضعية الإفتراضية التي تتكون منها الوصلة  $p-n$  يضم قطعتين من شبه الموصل واحدة من نوع  $p$  والأخرى من نوع  $n$  ، هناك زائد في الإلكترونات في مادة من نوع  $n$  وزائد في الفجوات من مادة من نوع  $p$  . عندما نضم القطعتين إلى بعضهما تنتشر الإلكترونات المنطقه  $n$  في الجهة  $p$  تاركه وراءها طبقة مشحونة إيجابياً بالمانحات وبطريقه مماثلة تنتشر الفجوات في الاتجاه المعاكس ، أما منطقة الوصلة الناتجة عن ذلك فتكون عملياً خالية من حاملات الشحنة المتحركة شكل (3-2) وتخلق الشحن الثابتة للذرات المنشعة (الشائبات) حاجز جهد يعمل ضد مزيد من السريان للإلكترونات والفجوات .



شكل (3-2) مخطط لتكون وصلة  $p-n$  وبنية النطاق الناجمة عن ذلك

عندما ينعدم الإنحياز bias ، لا يخترق الوصلة أي تيار بالطبع ويمكننا أن نتصور أن التيار الصفر الحالص هذا متكون من تيارين صغيرين جداً ومتعاكسيين  $I_0$  ،  $-I_0$  ناتجين عن جريان التيار الذي يسبق تكون الوصلة ، وبالفعل هذان التياران صغيران جداً ، حيث

أنهما ينتميان إلى كثافة تيار بحجم  $10^{-14}$  أمبير / سم في صمام ثنائي جيد من السليكون



شكل (4-2) التيار الكهربائي تحت انحياز خارجي في الوصلة p-n

يتغير ميزان التيار عندما تطبق فولطية على الوصلة . الانحياز الأمامي الذي هو تطبيق فولطية إيجابية على الجهة p ، يخفض من على حاجز الجهد . بالمقابل فـ يـد من التـيـارـ العـابـرـ لـصـمامـ بـشـكـلـ كـبـيرـ مـنـ جـهـهـ أـخـرـىـ فـيـ حـاجـزـ الـحـاجـزـ تـحـتـ الـانـحـيـازـ الـمـعـاـكـسـ وـيـحـدـثـ التـيـارـ الصـغـيرـ  $I_0$  (تيار التشبع عند الإلـظـالـمـ) الذي هو أـصـغـرـ بـكـثـيرـ مـنـ التـيـارـ تـحـتـ الـانـحـيـازـ الـأـمـامـيـ عندـئـذـ تـعـمـلـ الـوـصـلـةـ كـمـقـومـ أوـ صـمامـ ثـنـائـيـ بـلـغـةـ رـيـاضـيـةـ تـعـطـيـ معـادـلـةـ شـوـكـلـيـ Shockleyـ المـمـيـزـهـ v - I

$$I = I_0 \left[ \exp \left( \frac{qv}{kt} \right) - 1 \right] \quad (2-1)$$

حيث I هو التيار ، v الفولطية ، k ثابت بولترمان ، q شحنة الإلكترون و t درجة الحرارة المطلقة .

### 1-5-2) امتصاص الضوء من طرف شبہ الموصل :

يعتمد التحويل الكهروضوئي للطاقة على الطبيعة الكمية للضوء ، إذ يمكننا أن نتصور الضوء عباره عن تدفق لجسيمات فوتونات - تحمل الطاقه .

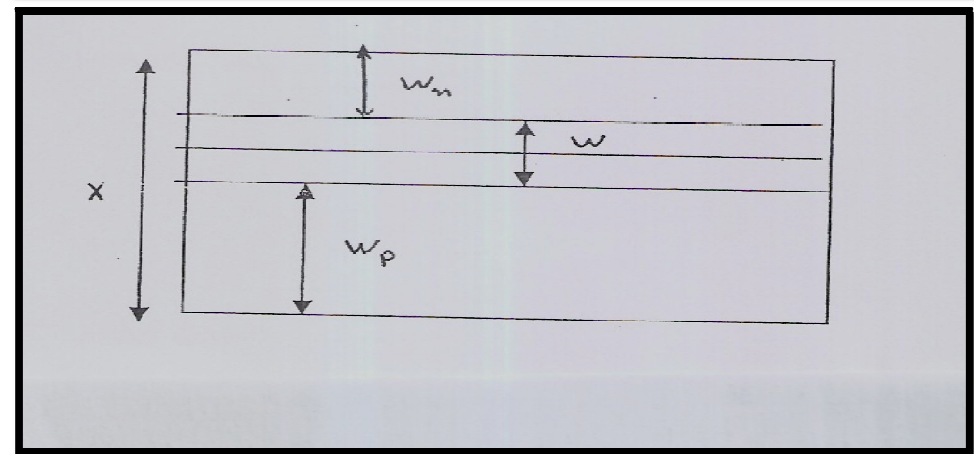
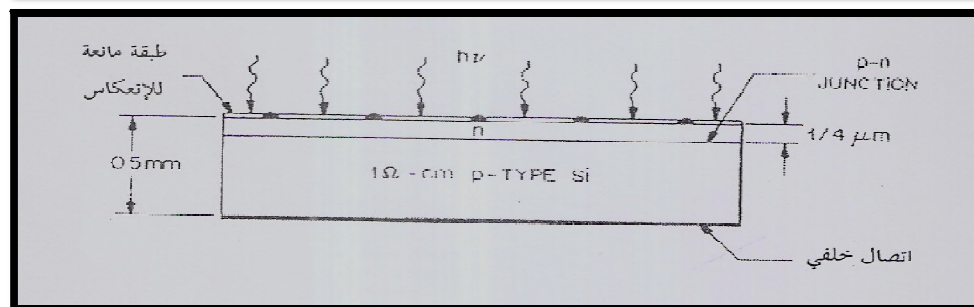
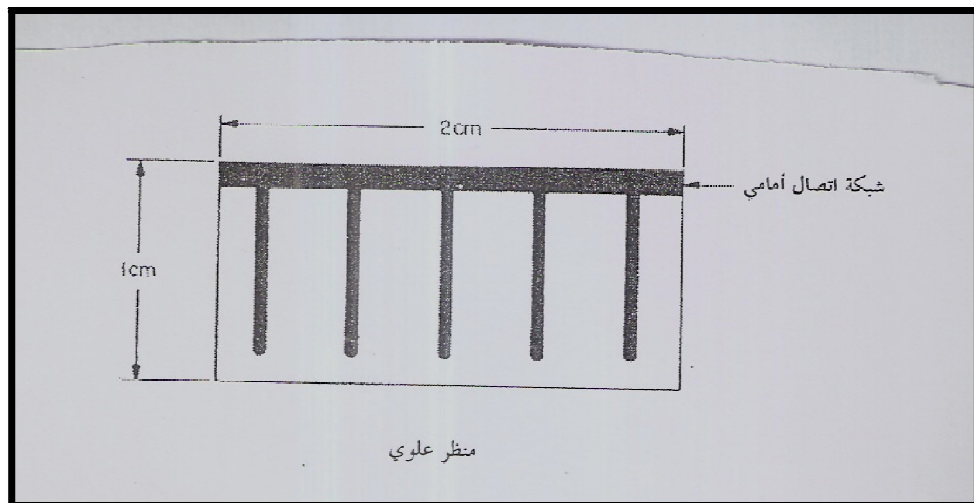
$$E_{ph} = hc/\lambda \quad (2-2)$$

حيث تمثل  $h$  ثابت بلانك و  $c$  سرعة الضوء و  $\lambda$  طول موجة الضوء .

الفوتونات التي تحول إلى كهرباء عن طريق الخلية الشمسية هي فقط تلك التي تتبعي طاقتها طاقة فجوة النطاق. عندما يدخل فوتون من هذا النوع إلى شبہ الموصل يكون من الممكن امتصاصه ، ويدفع عندئذ بالإلكترون من نطاق التكافؤ إلى نطاق التوصيل وهذا يترك فجوة في نطاق التكافؤ تولد عملية الامتصاص هذه أزواجاً على شكل إلكترون - فجوة - بذلك يقتصر كل شبہ موصل على استغلال جزء معين من الطيف الشمسي 2 .

### 6-2) تيار الوصلة $n-p$ "في حالة الخلية الشمسية":

عند حساب تيار الوصلة  $n-p$  افترضنا أن أبعاد المناطق  $n$  و  $p$  لانهائية وبالتالي لا يستطيع أي فوتون الوصول إلى الوصلة " الملتقى أو السطح البيني " إذن من المحم أن تكون منطقة الجبهة " التي تتعرض للضوء " على جانب من الدقة حتى تستطيع الفوتونات وحاملات الشحنة من الوصول إلى الوصلة ومن ناحية أخرى ولأسباب اقتصادية يتحتم الحد من السمك الكلي للخلية .



شكل (5-2) رسم تخطيطي لخلية شمسية ذات وصلة ثنائية 7

إن المعادلات الأساسية التي تصف تولد التيار الكهرومغناطيسي بفعل سقوط وامتصاص الفوتونات الساقطة على سطح الخلية هي [10 - 9 - 8 - 7 - 3].

• معادلات كثافة التيار the current- density equation

التيار الإلكتروني

$$J_n = q \mu_n n_p \xi + q D_n \frac{dn_p}{dx} \quad (2-3a)$$

التيار التقطي

$$J_p = q \mu_p \xi - q D_p \frac{dp_n}{dx} \quad (2-3b)$$

حيث أن  $p_n$  و  $n_p$  تركيز حوامل التيار الأقلية

$\xi$  المجال الكهربائي عبر الوصلة

$\mu_n$  و  $\mu_p$  حركية حاميات التيار (الإلكترونات والتقوب على التوالي )

$D_p$  و  $D_n$  معاملات انتشار حاميات التيار الأقلية

• معادلات الاستمرارية continuity equation

تحت شروط الحقن المنخفض low-injection condition في بعد واحد وفي الحاله

المستقره يكون :

$$\frac{dn}{d\tau} = 0, \frac{dp_n}{d\tau} = 0$$

لإلكترونات في منطقة  $p$ :

$$G_n - \frac{n_p - n_{p0}}{\tau_n} + \frac{1}{q} \cdot \frac{J_n}{dx} = 0 \quad (2-4a)$$

للتقوب في منطقة  $n$  :

$$G_p - \frac{p_n - p_{n0}}{\tau_p} - \frac{1}{q} \cdot \frac{dJ_p}{dx} = 0 \quad (2-4b)$$

حيث أن  $G$  معدل عدد الحاملات المتولدة في وحدة الحجم .

$$l_n = \sqrt{D_n \tau_n} \quad l_p = \sqrt{D_p \tau_p}$$

و  $\tau_n$  زمن حياة الحوامل

حيث  $l_n$  و  $l_p$  طول انتشار الحوامل .

وبمقابلة المعادلات (3-4) والتعويض في (2-4) نحصل على

$$D_p \frac{\partial^2 p_n}{\partial x^2} + G - \frac{\delta p_n}{\tau_n} = 0 \quad (2-5a)$$

$$D_n \frac{\partial^2 n_p}{\partial x^2} + G - \frac{\delta n_p}{\tau_n} = 0 \quad (2-5b)$$

$$\delta p_n = p_n - p_{n_0} \quad \delta n_p = n_p - n_{p_0}$$

حيث أهملنا المجال الكهربائي لأنه يساوي صفر خارج منطقة الإستزاف وبالتعويض

عن  $G$  من المعادله

$$G(x, \nu) = \beta(\nu) \alpha(\nu) s_0(\nu) (1 - R) \exp(-\alpha x)$$

حيث  $R$  معامل الإنعكاس لسطح الخلية

و  $(1-R)$  تمثل الفوتونات النفاده إلى الخلية

$(\nu)$  معامل الكفاءة الكمية (للتأثير الضوئي الداخلي )

$(\nu)$  معامل الفوتونات ذات الطول الموجي

نحصل على

$$G_n = G_p = G$$

$$D_p \frac{\partial^2 p_n}{\partial x^2} + \alpha \beta s_0 (1 - R) \exp(-\alpha x) - \frac{\delta p_n}{\tau_n} = 0 \quad (2-6)$$

وهذه المعادلة خاصة بالثقوب في منطقة  $n$  "المنطقة الأمامية"

$$D_n \frac{\partial^2 n_p}{\partial x^2} + \alpha \beta s_0 (1 - R) \exp(-\alpha x) - \frac{\delta n_p}{\tau_n} = 0 \quad (2-7)$$

هذه المعادلة خاصة بالإلكترونات في المنطقة الخلفية .

يمكن أن يكون الحل العام للمعادلة (2-6) على الصورة

$$\partial p = c_1 \cosh \frac{x}{l_p} + c_2 \sinh \frac{x}{l_p} - \left[ \frac{q a t_p \beta s_0 (1 - R)}{(\alpha l_p)^2 - 1} \right] e^{-\alpha x} \quad (2-8)$$

الثوابت  $c_1$  و  $c_2$  تحدد من الشروط الحدودية

ويمكن كتابة معادلة مناظرة للإلكترونات في المنطقة  $p$  "المنطقة الخلفية "

**الشروط الحدودية :**

في حالة الاتزان термодинамический، وبدون وجود جهد مطبق تكون الشروط الحدودية عند حدود منطقة الإستزاف :

$$\delta_p = p_n - p_{n_0} = 0 \quad at \quad x = x_n$$

$$\delta_p = 0 \quad at \quad x = x_p$$

ونذلك لأن حاملات تيار الوصلة إلى حدود منطقة الإستزاف تعجل مباشرة بواسطة المجال الكهربائي "داخل منطقة الإستزاف" إلى المنطقة المعاكسة وبال مقابل، ففي منطقتي الواجهة  $(x=0)$  والخلف نجد أن تركيز حوامل التيار يتحدد بسرعات إعادة الإتحاد  $\delta_p$  و  $\delta_p$  أي أن

$$D_p \frac{\partial p_n}{\partial x} = \delta_p \delta p_n \quad \text{at} \quad x = 0$$

$$-D_n \frac{\partial n_p}{\partial x} = \delta_n \delta n_p \quad \text{at} \quad x = -w_p + x_p$$

$w_p$  هو عرض المنطقة  $\rho$  الطبيعية

$$x_p = w_n + w$$

وباستخدام هذه الشروط يمكن تحديد الثوابت  $c_1$  و  $c_2$  في المعادلة (2-8) ويصبح لدينا :

$$\delta p_n = p_n - p_{n_0} = \left[ \propto \beta \delta_0 \frac{(1-R)\tau_p}{(\alpha^2 l_p^2 - 1)} \right] * \frac{\left[ \left( \frac{sp l_p}{D_p} + \alpha l_p \right) \sinh(w_n - x) + e^{-\alpha w} \left( \frac{sp l_p}{D_p} \sinh \frac{x}{l_p} + \cosh \frac{x}{l_p} \right) \right]}{\left( \frac{sp l_p}{D_p} \right) \sinh \left( \frac{w_n}{l_p} \right) + \cosh \left( \frac{w_n}{l_p} \right)} \quad (2-10)$$

والتيار التقطي الناتج

$$J_p = -qD \left( \frac{dp_n}{dx} \right)_{w_n} = \left[ q \propto \beta s_0 \frac{(1-R)l_p}{\alpha^2 l_p^2 - 1} \right] * \left[ \frac{\left( \frac{sp l_p}{D_p} + \alpha l_p \right) - e^{-\alpha w_n} \left( \frac{sp l_p}{D_p} \cosh \frac{w_n}{l_p} + \sinh \frac{w_n}{l_p} \right)}{\left( \frac{sp l_p}{D_p} \right) \sinh \left( \frac{w_n}{l_p} \right) + \cosh \left( \frac{w_n}{l_p} \right)} - \propto l_p e^{-\alpha w_n} \right] \quad (2-11)$$

أما بالنسبة للإلكترونات فيكون لدينا :

$$\begin{aligned}
sn_n = n_p - n_{p_0} &= \left[ \alpha \beta s_0 \frac{(1-R)t_n}{\alpha^2 l_n^2 - 1} \right] \exp[-\alpha (w_n + w)]^* \\
&\left\{ \cosh \left( \frac{x - w_n - w}{l_n} \right) - e^{-\alpha(x - w_n - w)} \right. \\
&- \frac{\frac{\delta_n l_n}{D_n} \left[ \cosh \left( \frac{w_p}{l_n} \right) - e^{-\alpha w_p} \right] + \sinh \left( \frac{w_p}{l_n} \right) + \alpha l_n e^{-\alpha w_p}}{\left( \frac{s_n l_n}{D_n} \right) \sinh \left( \frac{w_p}{l_n} \right) + \cosh \left( \frac{w_p}{l_n} \right)} \\
&\left. * \sinh \left( \frac{x - w_n - w}{l_n} \right) \right\} \quad (2-12)
\end{aligned}$$

ويكون التيار الكهروضوئي الناتج من تجمع الالكترونات عند حافة منطقة الاستزاف كالتالي:

$$\begin{aligned}
J_n = qD \left( \frac{\partial n_p}{\partial x} \right) xp &= \left[ q \beta s_0 \frac{(1-R)\alpha L_n}{\alpha^2 L_n^2 - 1} \right] e^{(-\alpha xp)} * \\
&\left\{ \alpha L_n - \frac{\left( \frac{s_n L_n}{D_n} \right) \left[ \cosh \left( \frac{w_p}{L_n} \right) - e^{-\alpha w_p} \right] + \sinh \left( \frac{w_p}{L_n} \right) + \alpha L_n e^{-\alpha w_p}}{\left( \frac{s_n L_n}{D_n} \right) \sinh \left( \frac{w_p}{L_n} \right) + \cosh \left( \frac{w_p}{L_n} \right)} \right\} \quad (2-13)
\end{aligned}$$

حيث  $w_p$  عرض المنطقة P "الجزء الذي لا يقع في منطقة الاستزاف"

ان معادلات التيار المذكورة ، تم اشتقاقها بفرض أن الخصائص التالية لحومال الشحنة تكون موحدة أي لا تعتمد على المسافة X ، وهذه الخصائص هي زمن الحياة lifetime ، الحركية mobility ، والتطعيم doping ، فإذا كانت هذه الكميات دوال في المسافة " اي تعتمد عليها " فان التيار يحسب باستخدام طرق التحليل العددي .

وهناك جزء من التيار الكهروضوئي يتولد في منطقة الاستزاف . حيث أن المجال الكهربائي في هذه المنطقة مرتفع ، فان الالكترونات والثقوب المتولدة في هذه المنطقة تُعجل وتُسرع الى خارجها قبل اعادة اتحادها . وتكون كثافة التيار الكهروضوئي الناتج من هذه المنطقة متساوية لعدد الفوتونات الممتصة اي ان

$$J_{dp} = q\beta S_o (1 - R) \exp(-\alpha x_n) (1 - \alpha x_n) (1 - \exp(-\alpha w)) \quad (2-14)$$

حيث أن :

$w = x_p - x_n$  وهي عرض منطقة الاستزاف .

كثافة التيار الكهروضوئي الكلي في هذه الحالة عند طول موجي معين يعطى بـ :

$$J_L(\lambda) = J_P(\lambda) + J_n(\lambda) + J_{dp}(\lambda) \quad (2-15)$$

ولكل الاطوال الموجية :

$$I_L = AJ_L = A \int_0^{\lambda_n} (J_P + J_n + J_{dp}) d\lambda$$

$$I_L = A \int_{\nu_n}^{\infty} (J_P + J_n + J_{dp}) d\nu \quad (2-16)$$

حيث  $A$  مساحة سطح الخلية .

كل حد من حدود المعادلة (2-16) يتناسب مع المقدار  $cqs_0(1-R)$  وهذا يعني ان التيار الكهروضوئي يتناسب مع شدة الضوء الداخل الى الخلية .

ويوصف الاداء الضوئي للخلية بمعامل الكفاءة الكمية الخارجية " الاستجابة " الطيفية الخارجية .

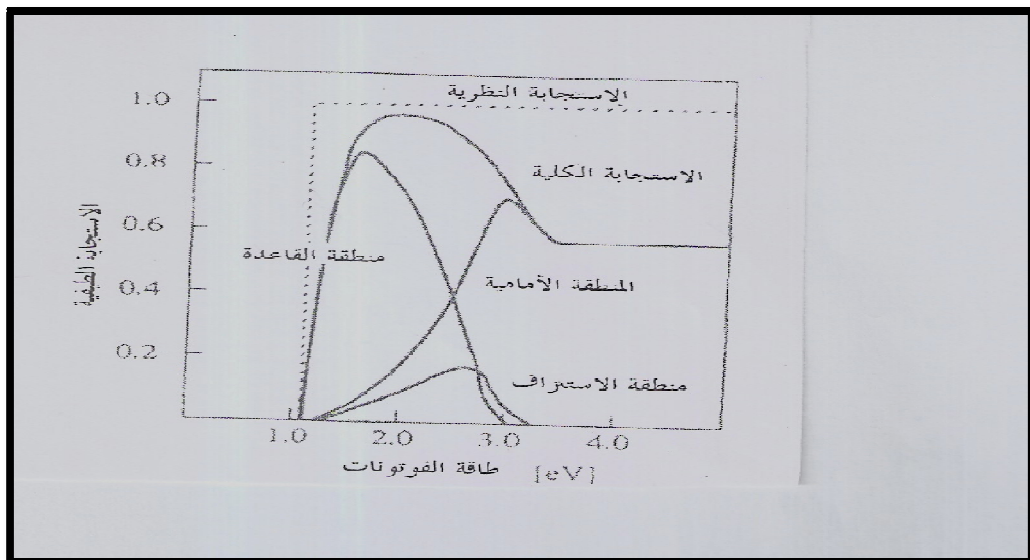
External spectral response (or quantum efficiency) وهو يصف عدد الفوتونات الساقطة على سطح الخلية الشمسية التي قد شاركت في توليد حوامل التيار في المناطق الثلاث للخلية . ويعطى بقسمة كثافة التيار الكلي  $J_L$  على المقدار  $qs_0 t$  . اما الاستجابة الطيفية الداخلية " أو الكفاءة الكمية الداخلية " فتعطى بالعلاقة :

$$SR(h\nu) \text{ or } SR(\lambda) = \frac{J_p + J_n + J_{dp}}{qs_0} \quad (2-17)$$

وهو يصف عدد الفوتونات الممتصة داخل الخلية ، التي قد شاركت في توليد حوامل التيار ويوضح الشكل (6-2) الاستجابة الطيفية لخلية سليكونية حيث الجبهة من النوع  $n$  والقاعدة من النوع  $P$  ، وفي الحالة المثالية يكون :

$$SR = \beta(v) \quad \text{or} \quad SR = \beta(t)$$

وكلما في الرسم نجد أن تيار المنطقة الخلفية هو المسيطر للطاقات الصغيرة بينما الطاقات الأعلى من 2.5 ev فإن تيار المنطقة الامامية هو المسيطر .



شكل (6-2) الاستجابة الطيفية الكلية ل الخلية الشمسية كدالة في طاقة الفوتونات ، ومساهمة كل منطقة القاعدة والمنطقة الامامية ومنطقة الاستنزاف في الاستجابة الطيفية [11].

#### (2-7) آداء الخلية الشمسية :

عرفنا من الفقرات السابقة أن سقوط الأشعة الشمسية على خلية شمسية يؤدي إلى امتصاصها ومن ثم سريان تيار كهروضوئي يعطى بالعلاقة [11-12] :

$$J_L = q x_L G_L \quad (2-18)$$

حيث  $J_L$  كثافة التيار الكهروضوئي ، وهو أقصى تيار يمكن أن تنتجه الخلايا الشمسية  $\cdot x_L$  مساحة التجميع لحوامل التيار المتولدة ،  $q$  الشحنة الأساسية .

ولكن من الناحية العملية فان توظيف الخلية الشمسية في تزويد حمل بالتيار الكهربائي اللازم لتشغيله يجعلها تنتج تياراً أقل من  $J_L$  ، وفي الحالة المثالية [7] فإن

$$I = I_s \left[ \exp \left( \frac{qv}{kT_0} \right) - 1 \right] \quad (2-19)$$

حيث ان  $V$  هو فرق الجهد عبر الوصلة و  $I_s$  هو تيار التسبيع ويعطى بالعلاقة التالية :

$$I_s = qAN_cN_c \left\{ \frac{D_n F_p}{L_n N_A} + \frac{D_p F_n}{L_p N_D} \right\} \exp \left( \frac{-E_g}{kT} \right) \quad (2-20)$$

حيث  $F_p$  و  $F_n$  تعطى بالعلاقات التالية :

$$F_p = \frac{S_n \cosh(w_p/L_n) + (D_n/L_n) \sinh(w_p/L_n)}{S_n \sinh(w_p/L_n) + (D_n/L_n) \cosh(w_p/L_n)} \quad (2-21)$$

$$F_n = \frac{S_p \cosh(w_n/L_p) + (D_p/L_p) \sinh(w_n/L_p)}{S_p \sinh(w_n/L_p) + (D_p/L_p) \cosh(w_n/L_p)}$$

المعادلة (2-19) تم اشتقاقها بإهمال التيار الناتج عن إعادة الإتحاد في منطقة الاستزاف ، ولكن في الحالات العملية لا يمكن إهمال هذا التيار ، وهو يعطى بالعلاقة :

$$I_{rec} = I_{sr} \left[ \exp \frac{qv}{2kT} - 1 \right] \quad (2-22)$$

$$I_{sr} = \frac{qAw_{ni}}{2(t_{po} + t_{no})}$$

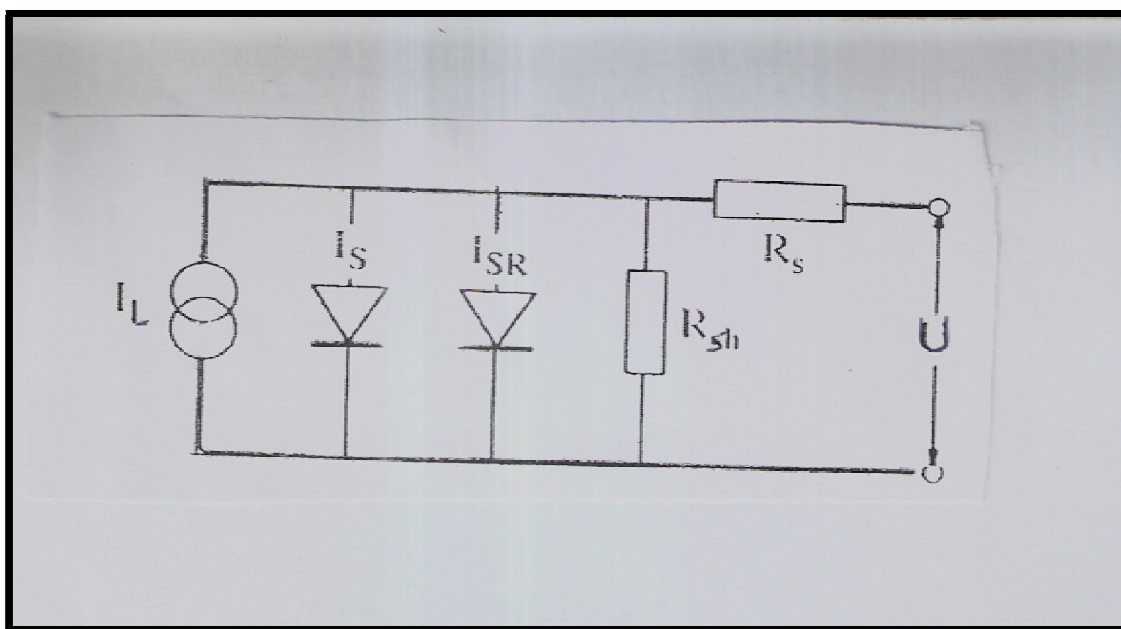
حيث أن  $A$  مساحة الوصلة و  $W = X_p - X_n$  تمثل عرض الوصلة وبأخذ تيار إعادة الإلتحاد بعين الاعتبار فإن المعادلة (19-2) تصبح كالتالي :

$$I = C_1 I_s \left\{ \exp \frac{qv}{kt} - 1 \right\} - C_2 I_{sr} \left\{ \exp \frac{qv}{kt} - 1 \right\} - I_L \quad (2-23)$$

حيث  $C_1$  و  $C_2$  مقادير ثابتة

وهناك تعديل آخر على هذه المعادلة بسبب وجود المقاومة التسلسلية  $R_s$

(Series resistance) التي تمثل مقاومة المادة المصنوع منها الخلية و مقاومة التوصيلات المعدنية ، و مقاومة التوازي  $R_{sh}$  (المقاومة المفرعة الشunt resistance) والتي تمثل المقاومة الناتجة عن العيوب البلورية داخل مادة الخلية ، ولتوسيع تأثير المقاومات يمكن رسم الدائرة المكافئة كما هو موضح في شكل (2-7)



شكل (7-2) الدائرة الكهربائية المكافئة لخلية شمسية ذات وصلة p-h (نموذج الثنائيين) . [11]

$I_{sr}$  تمثل التيار الكهروضوئي المتولد وهو عكس تيار الوصلة الثنائية  $I_L + I_s$

مقاومة التوازي (المقاومة المفرعة) (shunt Resistance) وتمثل المقاومة المتولدة في التشوهات في البناء البلوري للخلية .

المقاومة التسلسلية (series resistance) تمثل مقاومة التوصيلات والمقاومة الداخلية لمادة شبه الموصل المستخدم في صناعة الخلية .

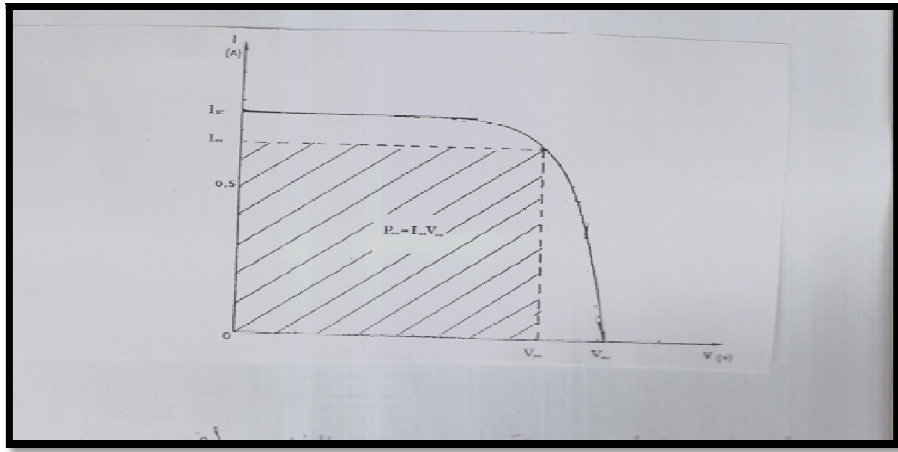
من الدائرة المكافئة وباستخدام قواعد الدوائر الكهربائية نستطيع كتابة العلاقة التالية :

$$J = C_1 I_s \left\{ \exp \frac{q(v - IR_s)}{kt} - 1 \right\} + C_1 I_{sr} \left\{ \exp \frac{q(v - IR_s)}{2kt} - 1 \right\} + \frac{(V - IR_s)}{R_s h} - I_L \quad (2 - 24)$$

وفي اغلب الأحيان يكون هذا النموذج ( نموذج الثنائيين two diode model ) مناسب لوصف خاصية التيار \_ الجهد للخلية الشمسية ، أما المعلمات  $C_1$  و  $C_2$  فيتم تحديدها تجريبياً (fitted to experimental curves) .

2-8) معلم خرج الخلية الشمسية : Solar cell output parameters

تستخدم عادة ثلاثة معلم (Parameters) لدراسة ما يخرج من الخلية الشمسية .



شكل (2-8) المعاملات الاساسية للخلية الشمسية [3].

واحد هذه المعالم هو تيار الدائرة القصيرة ( $I_{sc}$ ) (short circuit current) ويساوي التيار المولد بواسطة الضوء عند الظروف المثالية:

$$I_{sc} = I_L \quad (2-25)$$

اما المعلم الثاني فهو فولتية الدائرة المفتوحة ( $V_{oc}$ ) (open circuit voltage) و يجعل  $I$  يساوي صفرًا تكون القيمة المثالية لهذا العلم :

$$V_{oc} = \frac{kT}{q} \ln \left( \frac{I_L}{I_0} + 1 \right) \quad (2-26)$$

وتتحدد قيمة  $V_{oc}$  بخصائص شبه الموصل لاعتمادها على  $I_0$  . والقدرة الخارجية عند أي نقطة العمل (operating point) تكون متساوية لمساحة المستطيل المحدد كما موضح بالشكل (2-7). أما النقطة العاملة المعينة ( $V_{mp}$ ،  $I_{mp}$ ) تجعل هذه القدرة أكبر ما يمكن.

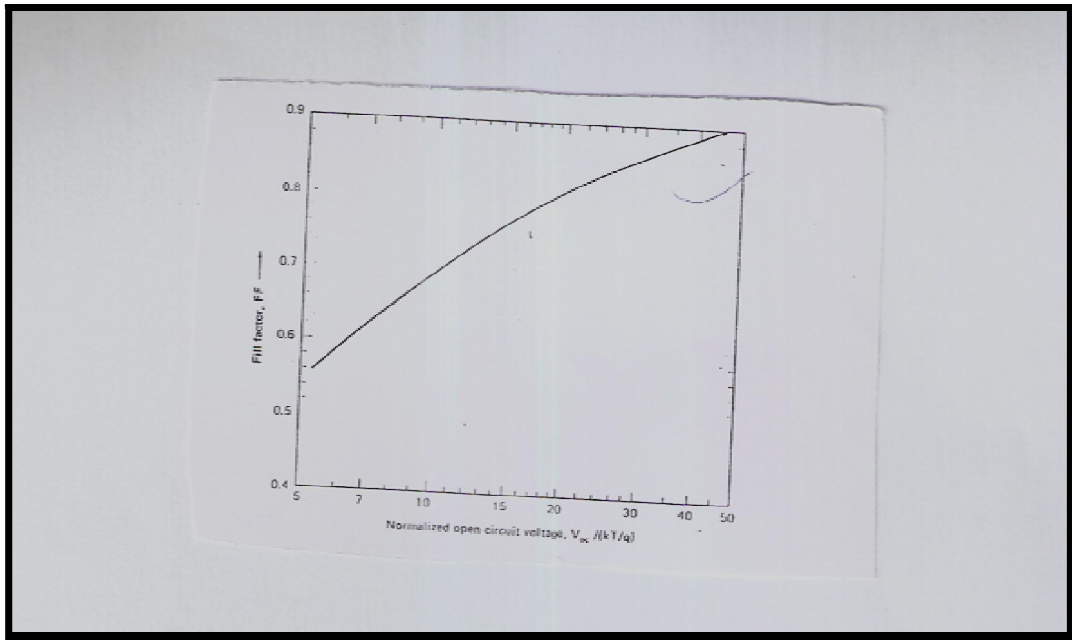
أما المعلم الثالث فهو عامل الماء (FF) (Fill Factor) ويعرف كما يلي :

$$FF = \frac{V_m I_m}{V_{oc} I_{sc}} \quad (2-27)$$

وهذا المعلم هو قياس لمدى مربعيه خصائص الخرج . وقيمتها بالنسبة للخلايا ذات الكفاءة المقبولة تكون بين 0,7 و 0,85 . أما في المثالية فيكون FF دالة لفولتية الدائرة المفتوحة

فقط وبتحديد الفولتية المعيارية بـ  $V_{oc}'$  as  $V_{oc}/(kT/q)$  فان القيمة المثلالية القصوى لـ  $FF$  موضحة فى الشكل (9-2). فهناك معادلة تجريبية تعبر عن هذه العلاقة عندما تكون  $10 > V_{oc}$  وبدقة أربعة مراتب عشرية .

$$FF = \frac{V_{oc} - L_n(V_{oc} + 0,72)}{V_{oc} + 1} \quad (2-28)$$



شكل (9-2) القيمة المثلالية لعامل الماء كدالة فولتية الدائرة المفتوحة العيادية الى الفولتية الحرارية  $[5] kT/q$  .

## 9-2 كفاءة تحويل الخلية للطاقة الشمسية إلى طاقة كهربائية:

كفاءة الخلية الشمسية في تحويل الطاقة الضوئية في أي طيف الى طاقة كهربائية يستفاد منها ، تعطى بالعلاقة التالية:

$$\eta = \frac{P_m}{P_{in}} = \frac{V_m I_m}{P_{in}} = \frac{FFV_{oc} I_{sc}}{P_{in}} \quad (2-29)$$

حيث  $V_m$  و  $I_m$  الجهد و التيار عند نقطة الذروة (أي أفضل نقطة تشغيل)

$P_m$  الفيض الإشعاعي الساقط على الخلية الشمسية في كل الأطوال الموجية .

$$P_{in} = A_t \int_0^{\infty} \left( \frac{hc}{t} \right) F(t) dt \text{ W/m}^2 \quad (2-30)$$

$A_t$  المساحة الكلية لسطح الخلية .  $F(t)$  عدد الفوتونات ذات الطول الموجي  $t$  الساقطة على وحدة المساحات في الثانية الواحدة  $hc/t$  طاقة الفوتون ذات الطول الموجي  $t$  .

### (2-9-1) الحدود النظرية لـ كفاءة الخلية الشمسية :

بإعادة النظر إلى العلاقة التي تعبّر عن كفاءة الخلية الشمسية ، نجد أنها تعتمد على ثلاثة متغيرات  $I_{sc}$  و  $V_{oc}$  و  $FF$  ، وبما أنه يمكن التعبير عن معامل التعبئة بدلالة  $V_{oc}$  كما في العلاقة (2-26) ، فإننا وبالتالي نحتاج لدراسة الحدود النظرية لـ  $I_{sc}$  و  $V_{oc}$

أ. بالنسبة لـ تيار الدائرة المقصورة  $A$

من السهل نسبياً حساب الحدود النظرية لـ تيار دائرة القصر لأي مادة شبه موصلة

$$I_{sc} = I_L$$

وـ تيار الكهروضوئي يعطى بالعلاقة

$$I_L = A \int_{V_n}^{\infty} (J_p + J_n + J_{dp}) dv$$

وـ للتبسيط ، سوف نعتبر بلورة ذات سمك لا نهائي  $W_p = \infty$  ولا يوجد تيار من منطقة الاستنفاف ، ولا يوجد إعادة اتحاد سطحي .

$$S_n = S_p = 0$$

وـ طول انتشار موحد

$$L_n = L_p = L$$

كثافة التيار الكلي  $J = J_n + J_p$  سوف تعطى بالعلاقة

$$J_l(V) \frac{q\beta S_0(1-R)\alpha L}{coch\left(\frac{X_n}{L}\right)(\alpha L)^2 - 1} \left\{ \alpha L - e^{(\alpha L - 1)X_n/L} \right\} \quad (2-31)$$

ويعتمد التيار على موقع الوصلة  $P_n$  تحت السطح ، أي على قيمة  $X_n$  وأقصى قيمة للتيار

تكون عند

$$X_n = X_n^{max}$$

$$\approx L \frac{\ln(\alpha L)}{\alpha \alpha L - 1} \quad (2-32)$$

وفي هذه الحالة

$$J_L^{max}(V) = \frac{q\beta S_0(1-R)}{\cosh(X_n^{max}/L)} \quad (2-32)$$

وللمواد ذات الجودة العالية يمكن ان نعتبر  $1 \gg L \alpha$  على أغلب مدى الأطوال الموجية

في الطيف الشمسي وبالتالي يصبح  $\cosh\frac{X_n^{max}}{L} \approx 1$  لذلك فإن التيار يعتمد بشكل رئيسي

على  $S(V)$  وبإجراء التكامل من أقل قيمة للطاقة يمكنها أن تنتج زوج الكتروني ثقبي

$E_g$  ، فإننا نحصل على أقصى قيمة للتيار كدالة في فجوة الطاقة لشبة الموصل ، حيث أن

التيار يزداد مع نقصان قيمة فجوة الطاقة  $E_g$  .

**B. بالنسبة لجهد الدائرة المفتوحة :**

كما ذكرنا سابقا فإنه يمكن التعبير عن  $V_{oc}$  بدلالة العلاقة (2-26) ، حيث أن  $I_s$  الذي

يمكن التعبير عنه بالعلاقة

$$I_s = I_{so} \exp\left\{\frac{-E_g}{kT}\right\}$$

ومن هذه العلاقة نجد أن  $I_s$  تعتمد على فجوة الطاقة  $E_g$  ، وبالربط بين العلاقتين السابقتين نجد أن قيمة  $V_{oc}$  تزداد بإزدياد قيمة  $E_g$  ، وهذا عكس النتيجة التي توصلنا إليها في حالة تيار الدائرة المقصورة ، ولذلك يجب اختبار قيمة مناسبة لفجوة الطاقة بحيث يكون  $V_{oc}$  أكبر ما يمكن

#### 2-10) الإستجابة الطيفية للخلية الشمسية : spectral Response of solar cell

تعرف بأنها عدد حاملات الشحنة الناتجة عن كل فوتون ساقط على الخلية وترتبط بالطول الموجي [5.8.9.11.13] .

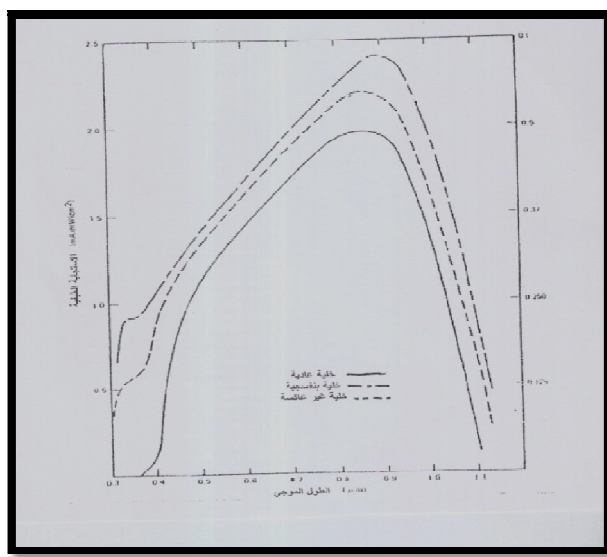
$$SR(\lambda) = J_{Ph}(\lambda) / \left( qN(\lambda) (1 - R(\lambda)) \right) \quad (2-33)$$

$J_{Ph}(\lambda)$  كثافة التيار الناتجة عن طول موجي معين ( $\lambda$ ) .

$R(\lambda)$  معامل الانعكاس للخلية .

$N(\lambda)$  تدفق الفوتونات ذات الطول الموجي ( $\lambda$ ) .

ويوضح الشكل (2-10) الإستجابة الطيفية لثلاث أنواع من الخلايا الشمسية



2-10) الإستجابة الطيفية لخلية شمسية عادية وخلية بنفسجية وخلية مغطاة بطبقة مانعة للانعكاس

### 3-1) مقدمه :

يمكن ان تتم إعادة التطوير التقني للإنتاج الصناعي في أي بلد فقط فقط عندما يتم إبتكار مواد جديدة ذات نوعية عالية إضافة إلى استخدام عمليات تقانة جديدة وتمثل تقانة الليزر مكاناً رائداً وسط عمليات التقانة الجديدة سريعة التطور وتتضمن كلمة ليزر الحروف الأولى من كلمات العبارة الإنكليزية التالية :

“Light Amplification by stimulated Emission of Radiation“

والتي تعني تضخم الضوء بواسطة الانبعاث المحفز للشعاع

تتمتع حزم الليزر بخاصيتي الشدة العالية والتجانس وهذا يجعلها تؤثر في الغازات والمواد التي تتميز ذراتها باحتوائها على عدد كبير من مستويات الإثارة مما فسح المجال لتتوفر أفاق واسعة في استخدام الليزرات في تجزئة النظائر وحداث التفاعلات الكيميائية وفي التأثير المباشر في الموضوعات البيولوجية المختلفة [13].

### 3-2) مكونات أجهزة الليزر :

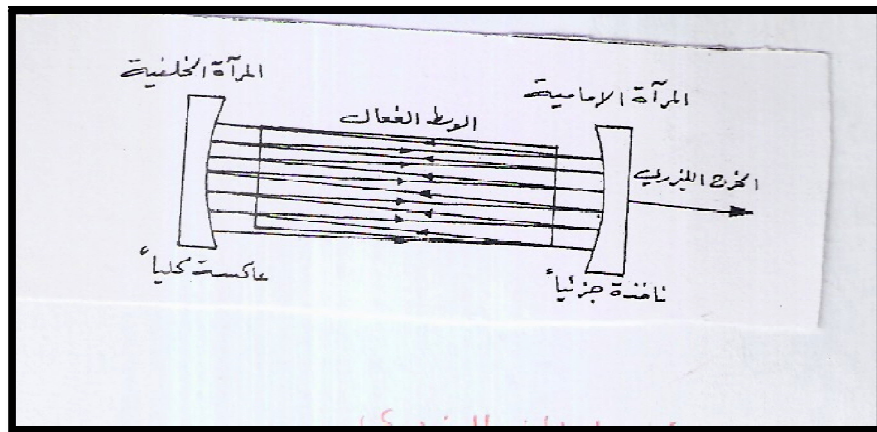
يتكون جهاز الليزر من العديد من المكونات الكهربائية والإلكترونية والبصرية وأجهزة السيطرة والتضمين نستعرض أهم المكونات الرئيسية التي يشترط وجودها في أجهزة الليزر :

#### 3-2-1) الوسط الفعال :

إن الوسط الفعال المستخدم في الليزرات يكون عادة في حالة صلبة أو سائلة أو غازية

#### 3-2-2) المرنان الليزري :

يتكون من مراتين متقابلين ويشبه مقياس فابري-سيرو ، ويقوم المرنان بمساعدة الفوتونات المنبعثة لعكس ملابس المرات في الثانية ذهاباً وياهاً بين المراتين ماده في كل جوله خلا الوسط الفعال لتحفز اعداد كبيرة من الذرات أو الجزيئات المنهجية لكي تتبعد فوتونات جديدأ خرى للحصول على حزمة الليزر ويمكن القول بأن المرنان هو الذي يضمن إستمرار عمل المنظومة.



شكل (1-3) المرنان الليزري

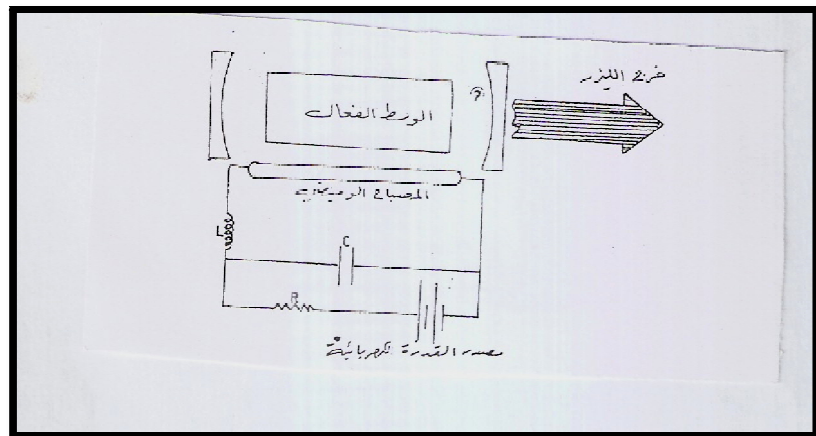
### 3-2-3) تقنيات الضخ :

تقوم الطاقة الضاحكة بإثارة الذرات المستقرة في الوسط الفعال لتنقل إلى المستويات المنهجية لكي يتحقق التوزيع العكسي المناسب الذي يضمن توليد الليزر وتوجد ثلاثة تقنيات معروفة للضخ وهي

#### 1- تقنية الضخ الضوئي :

تستخدم تقنية الضخ الضوئي في الليزرات الصلبة كليزر اليقوت مثلاً ويستخدم في هذه التقنية مصابيح وميضية شدة استضائتها عالية لإثارة الوسط الفعال حيث أن جدران المصابيح الوميضية تصنع من مادة الكوارتز وتملاً بغازات معينه كغاز الزيون والكريبيتون

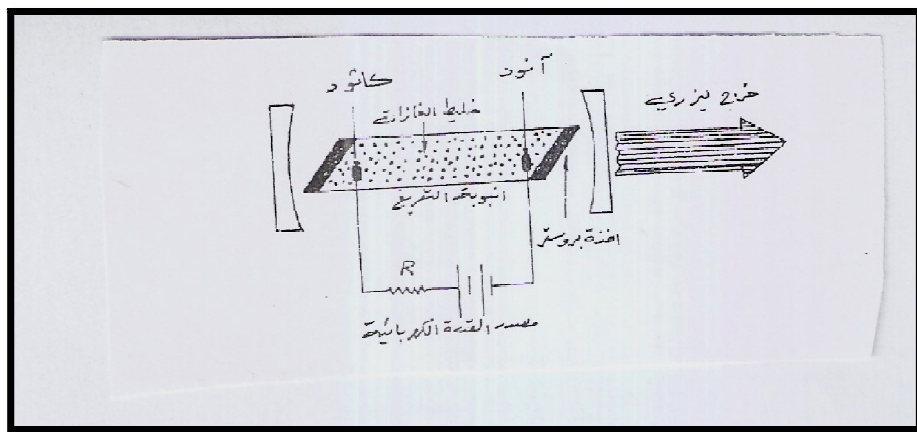
والنتروجين والنيون يستخدم الضخ الضوئي للحصول على ليزرات تقع ضمن المنطقة المرئية أو تحت الحمراء القريبة من الطيف الكهرومغناطيسي كليزر الياقوت أو النديميوم .



شكل (3-2) تقنية الضخ الضوئي

### 3-2-3 تقنية الضخ الكهربائي:

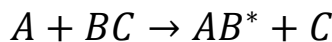
تستخدم لإثارة ذرات أو جزيئات الوسط الفعال لتحقيق التوزيع العكسي ويكون الوسط الفعال عبارة عن غاز أو خليط من الغازات يوضع داخل أنبوبة التفريغ الكهربائي ويقتصر الضخ الكهربائي على الليزرات الغازية وليزرات أشباه الموصلات .



### شكل(3-3) تقنية الضخ الكهربائي

#### 3-3-2-3) تقنية الضخ الكيميائي :

عند تفاعل مادتين كيميائيتين يؤدي إلى انتاج مادة ثالثة جديدة قد تكون في حالة غير مستقرة ويمكن تمثيل هذا التفاعل كما يلي :



إن الطاقة المتحررة من هذا التفاعل ستمكن الجزيئ  $(AB^*)$  الذرة المتحررة  $(C)$  أو كلاهما من بلوغ حالة التوزيع العكسي ومن ثم الحصول على الليزر .

#### 3-3) تضخيم الإنبعاث المحفز :

عند ضخ الوسط الفعال تفتق الذرات أو الجزيئات من المستوى المستقر إلى مستويات منهجية ليزرية وبذلك يحدث التوزيع العكسي ونتيجة لكل من الإنبعاث المحفز واللتلقي الذي يرافق هبوط الذرات أو الجزيئات منهجه إلى المستوى المستقر، تتبعث فوتونات وباتجاهات مختلفة ، إلا أن أغلبية هذه الفوتونات المنبعثة تسير في اتجاه امتداد الوسط الفعال لتصطدم بسطح المرأة وتعكس منها وعند مرورها خلال الوسط الفعال سوف تحفز ذرات أو جزيئات منهجية أخرى للهبوط إلى المستوى الأرضي مما يؤدي إلى إنبعاث أعداد جديدة من الفوتونات وعند وصول العدد الكلي للفوتونات إلى المرأة الثانية تتعكس منها لتسير خلال الوسط الفعال من تأثير محفز أعداد كبيرة من الذرات أو الجزيئات مؤدية إلى إنبعاث فوتونات إضافية .

إن هذا العدد الهائل من الفوتونات سوف ينعكس آلاف المرات خلال أجزاء الثانية الواحدة ذهاباً وإياباً بين مرآتي المرنان ماراً بالوسط الفعال ونتيجة لها يزداد عدد الفوتونات المنبعثة تدريجياً ولكن العدد الكلي للفوتونات المنبعثة سيصل إلى حالة الإستقرار نتيجة للخسائر التي تترجم عن الحبود والاستطاره والنفاذية ويبقى فيض الفوتونات المنبعثة تأبى نسبياً عدد

الفوتونات سبق بشكل مفاجئ عند اصطدامها بالمرآة الأمامية النافذة جزئياً للضوء وذلك بسبب نفاذ بعض الفوتونات من خلال المرآه على شكل خرج ، بينما تتعكس غالبية الفوتونات لتحرك إلى اليسار خلال الوسط الفعال وحينئذ يلاحظ أن عدد الفوتونات يزداد من جديد نتيجة لحدوث الإلبعاث المحفز لعدد آخر من الذرات أو الجزيئات المتهيجه التي تصادفها في الطريق وعند اصطدام هذه الحزمة من الفوتونات بالمرآة الخلفية، ستحدث خسائر قليلة إذا قورنت بخسائر المرأة الأمامية ، وتأتي هذه الخسائر نتيجة للحيود والإستطارة التي تحدث في المرأة الخلفية وعند رجوع حزمة الفوتونات خلال الوسط الفعال باتجاه اليمين ويزداد عددها من تأخر إلبعاث المحفز ليصل مع حدوث الخسائر لتبقى القدرة الكلية المنبعثة داخل المرنان ثابتة بشكل نسبي لضمان استمرار توليد الليزر .

#### 3-4) شرط العتبة لتوليد الليزر :

يعرف شرط العتبة بأنه الحالة التي يستقر فيها تذبذب الفوتونات ويتعادل ربح الوسط الفعال مع خسائر المرنان، ولضمان توليد الليزر يجب أن يكون التوزيع العكسي بدرجة كافية بحيث ربح الوسط الفعال أكبر من جميع خسائر المرنان [14].

#### 3-5) مميزات الأشعة الليزرية :

يتصف الليزر بالخصائص الآتية :

1. أنه شعاع ذو اتجاه ثابت، على نحو يخالف شعاع الضوء العادي والذي ينتشر في جميع الإتجاهات .
2. إنه شعاع متمسك، أي أن الفوتونات في الشعاع الضوئي ترتبط فيما بينها بعلاقات طوريه phase Relation ships الأمر الذي لاينطبق على أشعة الضوء العادي .

3. أنه شعاع أحادي الطول الموجي ، ويوضح ذلك فيما لوقلنا بمعاينة الضوء لتبيّن لنا أنه يتّألف من حزمة ضيقة جداً من الأشعة [15].

4. السطوع ، يزداد سطوع الأشعة الليزرية لدرجة أكبر من سطوع المنابع الضوئية المعروفة بعدة ملايين المرات [16].

### (3-6) أنواع الليزرات :

يمكن تقسيمها وفقاً لطبيعة الوسط الفعال المستخدم إلى الأصناف التالية :

#### (3-6-1) ليزرات العوازل المطعمة (الليزرات الصلبة) :

إستخدام مصطلح العوازل المطعمة لوصف الليزرات التي يكون وسطها الفعال عباره عن بلورات عازلة صلبة ومطعمة بالشوائب الأيونية ويطلق عليها أيضاً الليزرات الصلبة ومن أشهرها ليزر الياقوت ولaser النديميوم الزجاجي والنديميوم ياك وتنميّز هذه الليزرات بقدرة خرج عالية .

##### (3-6-1-1) ليزر الياقوت :

يتكون لوسط الفعال لهذا الليزر من بلورة اسطوانية صلبة من الياقوت، تتكون بلورة الياقوت من أوكسيد الألمنيوم  $Al_2O_3$  مع وجود نسبة قليلة جداً من أوكسيد الكروم  $Cr_2O_3$  ويتم إزاحة 0.05 % من أيونات الألمنيوم  $Al^{3+}$  لتحل محلها أيونات الكروم  $Cr^{3+}$  المسئولة عن توليد الليزر، ويمكن تشغيل ليزر الياقوت بنمط نبضي أو مستمر، يستخدم ليزر الياقوت في المجالات الطبية والصناعية والإلكترونات .

##### (3-6-1-2) ليزر النديميوم الزجاجي :

يعد ليزر النديميوم الزجاجي من الليزرات المهمة صناعياً حيث يتكون وسطه الفعال من الزجاج المطعم بأيونات النديميوم ، يتميّز الزجاج المضاف في هذا الليزر بكونه

متجانساً بصرياً بحيث يمكن تعديمه بأيونات النديميوم بتركيز عالٍ ويكون رخيص الثمن وسهل التصنيع ويمكن تشغيله بنمط مستمر أو نبضي ، إلا أن استخدامه بنمط مستمر يحد من فائدته بسبب قلة التوصيلية الحرارية للزجاج وبالتالي يصبح عملية التخلص من الحرارة العالية صعبة .

### 3-1-3) ليزر النديميوم ياك :

يتكون الوسط الفعال لهذا الليزر من مادة ياتريوم المنيوم كراتين ( ياك ،  $YAG$  ) المطعمة بأيونات النديميوم بنسبة تترواح بين 0.5 % إلى 2 % وهي تعد شوائب بديلة تحل محل أيونات الياتريوم مكونة بذلك المستويات الليزرية داخل البلورة ، ويمكن الحصول على ثلاثة خطوط ليزرية مختلفة ( 914.2 nm ، 1060nm ، 1359nm ) ويعود الخط الليزري ( 1060 nm ) من أسهل الخطوط التي يمكن توليدها يمكن تشغيل ليزر النديميوم ياك بنمط نبضي أو مستمر ، حيث تستخدم مصابيح مستقيمة كمصابح الزيون ذات الضغط المعتدل لتشغيله بنمط نبضي ، بينما تستخدم مصابيح الكربيتون ذات الضغط العالي لتشغيله بنمط مستمر ، ويمكن الحصول على خرج ليزري قدره عالية تصل 150 واط عند تشغيله بنمط نبضي وتصل قدرة الخرج إلى 700 واط عند تشغيله بنمط المستمر ويستخدم ليزر النديميوم ياك في الكثير من التطبيقات الصناعية والطبية .

### 3-2) ليزرات أشباه الموصلات :

تصنف ضمن فصيلة الثنائيات المشعة للضوء المستخدمة في الدوائر الإلكترونية وتخالف عنها من حيث طبيعة الضوء المشع ، حيث يكون الضوء المنبعث من الثنائيات المشعة للضوء أحادي اللون كالأحمر والأصفر والأخضر ولكنه غير متلاكم ، بينما يكون الضوء المنبعث من ليزرات أشباه الموصلات أحادي اللون المتلاكم ويكون

الوسط الفعال لهذه الليزرات من مادة شبه موصلة تختلف بشكل جوهري عن البلورات الأيونية من حيث ترتيب مستويات الطاقة وحركة الإلكترونات فعندما تكون ذرات الوسط الفعال شبه الموصل قريباً من بعضها فإن كل مستوى من مستويات الطاقة سوف ينتظر إلى عدد من المستويات الثانوية ، وبذلك تكون حزم من الطاقة بدلاً من المستويات المنفردة للطاقة وهم حزمة التكافؤ  $E_v$  وحزم التوصيل  $E_c$  ويفصل بينهما فجوة محظورة عرضها  $E_g$  وتستخدم في ليزرات أشباه الموصلات مادة جاليم أرسنайд (GaAs) والسيلكون والجرمانيوم المستخدمة في صناعة المكونات الإلكترونية كالثاليات والترانزستورات والدوائر المتكاملة [14].

### 3-6-3) الليزرات الغازية :

أكثر أنواع الليزر المألوفة خذ مثلاً ليزر الهيليوم نيون المنتشر في كل مكان فهو يوجد في مختبرات الفيزياء بالمعاهد الدراسية وفي أجهزة المحاسبة الآلية في الأسواق حيث تستعمل لمسح scanning تلك الرموز العصرية العجيبة لأسعار السلع ، ويوجد في موقع المشروعات الإنشائية حيث يستخدم لضبط إستقامة الجدران والمباني وأكثر الطرق انتشاراً لضخ ليزر غازي هي تمرير تيار كهربائي خلال الغاز في الأنبوة وتكون النتيجة تفريغ كهربائي في الغاز وفي ليزر الهيليوم نيون يؤدي التفريغ إلى إستثارة ذرات الهيليوم التي تحول طاقتها إلى ذرات النيون والتي تشع حينئذ ضوء أحمر اللون ومن الممكن أيضاً إستثارة أعضاء أخرى من العائلة الخامدة بوساطة الكهرباء ، والأرغون والكريبيتون Krypton Argon والأبحاث العلمية أما ليزرات الكريبيتون والليزرات التي تضم الأرغون والكريبيتون فتتميز ب مجال من الألوان المختلفة الأكثر إثارة وتستعمل غالباً في العروض والاحتفالات الضوئية . إن جميع الليزرات التي ذكرناها حتى الآن تطلق أشعتها بستمرار لكنها محدودة القدرة وهناك نوع آخر من الليزر المدفوع بقدرة التفريغ الكهربائي ألا وهو ليزر

ثاني أكسيد الكربون ، ويبلغ طول موجة هذا الضوء الخفي للأشعة تحت الحمراء حوالي 20 ضعف الأطوال الموجية المرئية الصادرة عن ليزرات الهيليوم نيون والأرغون والكريبيتون وباستطاعة ليزرات ثاني أكسيد الكربون أن تنتج الطاقة بإستمرار ابتداءً من دون الواط إلى مئات الآلاف من الواطات والمؤاغ الأخير تكون عادة ليزرات عسكرية لاتعمل إلا بضعة ثوانٍ فقط للمرة الواحدة [17].

: liquid lasers(dye laser) (ليزرات الصبغة) (3-6-4)

إن الليزرات التي تكون فيها المادة الفعالة بحالة سائلة ، من محاليل معينة لصبغة عضوية مذابة في سوائل مثل كحول إيثيلي أو كحول ميثيلي أو مشابه ذلك ، تعود كصبغات إلى أحد الأصناف الآتية :

### أ) صبغات متعددة الميثين polymethine(0.7-1μm)

ب) صبغات الكسانتين  $Xanthene(0.5-0.7)\mu_m$

ج) صبغات  $\mu_m$  (0.4-0.5)

د) الصبغات الوميضية  $\mu_m$  ( $\lambda < 0.4$  μm)

تؤدي لزيارات الصبغات حاماً متزايداً في التطبيقات في حقول وميادين مختلفة لإمكانية توليف أطوالها الموجية ، وللتغطية الواسعة للطيف تحتوي الصبغات أربطة مزدوجة متراقة (conjugated double bonds) وتمتلك عادة حزم امتصاص قوية في المنطقة المرئية وفوق البنفسجية من الطيف [16].

### 3-6-5) الليزرات الكيميائية :chemical lasers

يعرف الليزر الكيميائي عادة بأنه الليزر الذي يحدث فيه انقلاب الإسكان بالتفاعل الكيميائي مباشرًة، وعادة تستخدم الليزرات الكيميائية التفاعل الكيميائي بين العناصر الغازية.

هذه الليزرات مهمة لسببين هما :

أ) هذه الليزرات تقدم مثالاً مهماً للتتحول المباشر من الطاقة الكيميائية إلى طاقة كهرومغناطيسية.

ب) بما أن كمية الطاقة المتيسرة في التفاعل الكيميائي كبيرة جداً فيتوقع أن تكون الإستطاعات الخارجية عالية [ 16 ].

ومثال على هذه الليزرات ليزر HF فلور الهيدروجين ، حيث تتحدد ذرة هيدروجين مع ذرة فلور لإنتاج فلوريد الهيدروجين اتحاد الذرتين ينتج طاقة تشتت بصورة حرارة ، لكن إذا وضعت الجزيئات المستثار داخل فجوة ليزرية يمكن استخلاص الطاقة على شكل شعاع ليزر طول موجته حوالي 3 ميكرومتر ( $3 \times 10^{-3}$  ملم) والتي تقع في منطقة الأشعة تحت الحمراء.

### 6-6) الليزر حر الإلكترون : the free – Electron laser

من الإضافات الأخيرة إلى قائمة أنواع الليزر جهاز يعرف باسم " الليزر ذي الإلكترون الحر " ويأتي الإصطلاح " حر الإلكترون " من حقيقة الوسط الفعال الذي يبعث الضوء هو شعاع من الإلكترونات ، متحررة من الذرات والتي تعبر من خلال مجال مغناطيسي .

يتطلب الليزر معجلاً إلكترونياً Electron Accelerator كبير لتوفير الشعاع الإلكتروني . ثم يتطلب مجموعة من المغناطيسات القوية الضخمة لتنكفل بتغيير اتجاه الشعاع . وأبدت الأوساط العسكرية إهتماماً بهاً ليزر لسبب واضح : طاقته العالية ، فمن الوجهة الأساسية ، يعتقد بأن شعاعاً من الإلكترونات كفيل ذاتياً بصناعة سلاح جيد [17].

### 7-3) تطبيقات الليزر : Laser Applications

لليزر تطبيقات عديدة جداً في مختلف مجالات حياتنا اليومية ويمكن تقسيم استخدامات الليزر إلى :

#### 7-1) تطبيقات صناعية : industrial Application

من أهم التطبيقات الصناعية :

- أ. القياسات الدقيقة ( المسافات ، الحركة ، قياس التداخل ) .
- ب. التراصف في خط مستقيم ( مد أنابيب الغاز أو المياه أو خطوط الكهرباء ، حفر الانفاق تحت الأرض ، ترتيب الأجهزة الميكانيكية ، وضع علامات مرجعية في عمليات البناء والتشييد ) .
- ت. معالجة المواد ( القطع ، اللحام ، الصهر ، التبخير ، زيادة الصلابة ، التأين (الضوئي) .
- ث. التحليل الطيفي .

#### 7-2) تطبيقات طبية : Medical Application

دخل الليزر في العديد من التطبيقات الطبية ، ويمكن تقسيم هذه التطبيقات حسب التالي:

- العضو البشري المراد معالجته مثل : العيون ، الجراحة العامة ، طب الاسنان ، الأمراض الجلدية ، الأوعية الدموية ، الأورام ، جراحة العظام ، أمراض النساء ، الطب البيطري .
- نوع الليزر المستخدم في العلاج مثل : ليزر ثاني أكسيد الكربون ، أو ليزر الياك ، أو ليزر الأرغون .
- نوع المعالجة مثل : تشخيص أو جراحة أو لحام الأوعية الدموية .

### 3-7-3) التطبيقات العسكرية : Military Application

من أهم التطبيقات العسكرية المعروفة :

1. تحديد المدى بإستخدام الليزر . Laser range – finder
2. تعيين الأهداف . Target designation
3. أسلحة الليزر ( حرب النجوم ) . Laser daily ( Star war )
4. الإعماء بالليزر للناس والمعدات الحساسة (Laser blinding for man and sensitive equipments)

### 3-7-4) تطبيقات الليزر في الحياة اليومية : Laser daily Application

3-7-4-1) الليزر في البيت :

- الأقراص المدمجة أو المضغوطة ( Compact disks ) وفيها يتم تخزين المعلومات بصرياً .
- الوسائط المستخدمة لتخزين المعلومات . ( القرص المتعدد الأغراض الرقمي (DVD

### ٤-٣-٧-٣) الليزر في المكتب ويشمل :

- الطابعة الليزرية ( Laser printer ) .
- وسائل تخزين المعلومات ( Optical disk drivers ) .
- الحاسوب الضوئي ( Optical computer ) .

### ٤-٣-٧-٣) الليزر في التجارة ويشمل :

- قارئ ( ماسح ) ملاج الشفرة ( Bar code scanner ) .
- العلامة الهلوغرافية ضد التووير ( بطاقات الإعتماد ، الأموال ، البضائع الخاصة وغيرها ) .

### ٤-٣-٧-٣) الليزر في الإتصالات ويشمل :

- الإتصالات بإستخدام الألياف البصرية ( Optical fibers communications ) .
- الإتصالات الفضائية ( Free space communication ) .

### ٤-٣-٧-٣) الليزر في الفن والتسلية :

- عروض الليزر ( Laser shows ) في المناسبات والإحتفالات والمسارح المفتوحة .
- الهلوغراف في المتاحف والمعارض .
- التصوير الثلاثي الأبعاد والتماثيل المتحركة .

### ٥-٣) تطبيقات الليزر في الابحاث العلمية:

#### ( Laser in scientific research Application )

قلا يوجد بحث علمي سواء في مجال الفيزياء أو الكيمياء أو الجيولوجيا أو الاحياء إلا بإستخدام الليزر كأداة رئيسية . ومن تطبيقاته في المجالات العلمية ذكر :

- الأطیاف . Spectroscopy
- الإنديماج النووي . Laser inertial
- دراسة تفاعل الاشعة الكهرومغناطيسية مع المادة .

### 3-7-6) تطبيقات خاصة : Special Application

توجد العديد من التطبيقات التي لا تزال طور البحث ومنها :

- تزويد المحطات الفضائية بالطاقة اللازمة عن طريق توجيه أشعة الليزر من الأرض إلى المحطة الفضائية .
- البوصلة الليزرية و هو جهاز يستخدم في الحفاظ على الإتجاه في الفضاء .
- الألياف الزجاجية ( fiber glass laser ) وهي تطبيقات تعتمد على توليد الليزر في الألياف الزجاجية بدون الحاجة إلى استخدام الطاقة الكهربائية لعملية الضخ [ 18 . ]

## (4-1) مقدمة:

تم عمل تجربة لمعرفة تأثير ضوء الليزر على الخلية السليكونية.

## (4-2) الهدف من التجربة:

1. دراسة تأثير ضوء الليزر على الخواص الكهربائية للخلية السليكونية.
2. حساب كفاءة الخلية الشمسية بعد تعرضها لضوء ليزر الهيليوم-نيون.

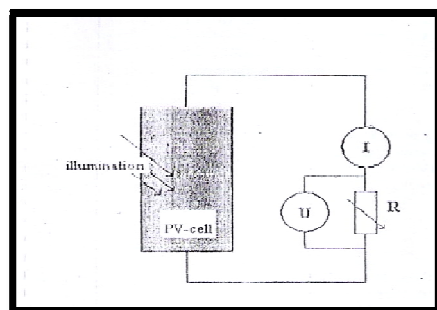
## (4-3) الأجهزة والأدوات المستخدمة:

1. جهاز ليزر الهيليوم-نيون طوله الموجي  $632.8 \text{ nm}$  وقدرته  $1 \text{ mw}$
2. خلية شمسية مساحتها  $0.06 \text{ m}^2$
3. جهاز أميتر لقياس التيار.
4. جهاز فولتميتر لقياس الجهد
5. ريوستات.
6. أسلاك توصيل.

## (4-4) كيفية إجراء التجربة:

وضعت الخلية السليكونية على حامل وعلى بعد  $0.03 \text{ m}$  عن مصدر الليزر مرة وعلى بعد  $0.1 \text{ m}$  مره أخرى.

تم توصيل الدائرة الكهربائية كما موضح في الشكل (4-1)



(شكل 4-1)

النظيرية: (4-5)

$$FF = \frac{I_m V_m}{I_{sc} V_{oc}} \quad (4-1)$$

$$\eta = \frac{P_m}{GA} \quad (4-2)$$

حيث أن :

$FF$  = عامل الماء

$I_{sc}$  = تيار الدائرة القصيرة

$V_{oc}$  = فولتية الدائرة المفتوحة

$I_m$  و  $V_m$  = الجهد والتيار عند نقطة الذروة

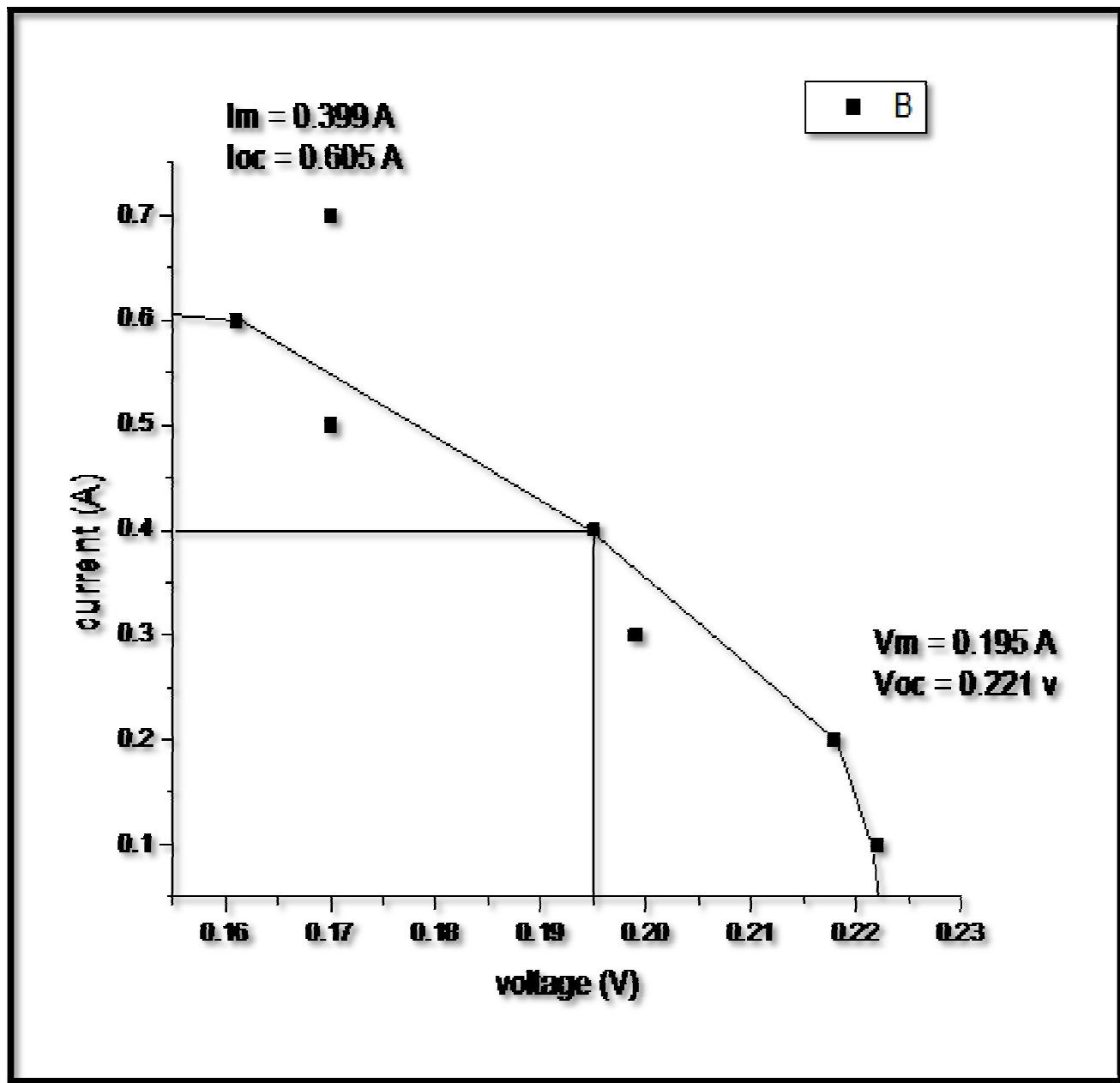
$\eta$  = كفاءة الخلية الشمسية

$G$  = الكثافة الضوئية

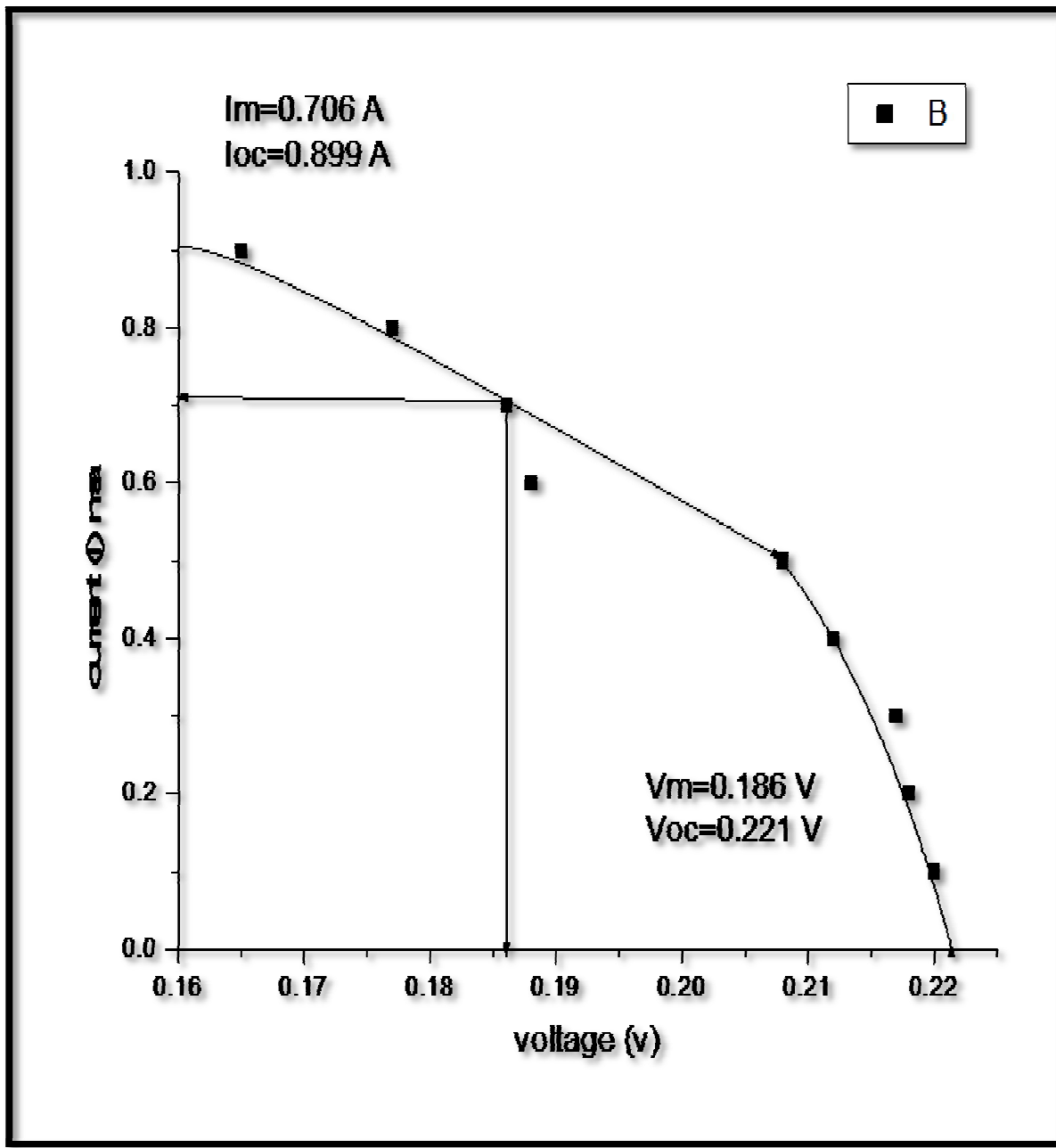
$A$  = مساحة الخلية

#### 4-6 ) النتائج :

Solar cells silicon single crystal المسافة = m 0.1		Solar cells silicon single crystal المسافة = m 0.3		ليزر هيليوم-نيون
0.58	FF	0.66	FF	طوله الموجي 632.8 nm
12.96	$\eta$	21.83	$\eta$	وقدرتها 1 mw



شكل (2-4) رسم بياني يوضح العلاقة بين التيار والجهد عند مسافة 0.1 m بين المصدر والخلية



شكل (3-4) رسم بياني يوضح العلاقة بين الجهد والتيار عند مسافة 0.3 m بين المصدر والخلية

#### 4-7) المناقشة:

من الشكل (2-4) والشكل (3-4) يمكن إيجاد المتغيرات التي يعتمد عليها أداء الخلية الشمسية والذي يحدده كل من تيار الدائرة القصيرة  $I_{sc}$  وفولتية الدائرة المفتوحة  $V_{oc}$  وعامل الماء  $FF$  والتي منها يمكن حساب كفاءة الخلية الشمسية وقد وجد عمليا في الحالة الأولى التي كانت فيها المسافة بين مصدر الليزر والخلية  $0.1 \text{ m}$  قيمة  $I_{sc} = 0.605 \text{ A}$  وقيمة  $V_{oc} = 0.222 \text{ V}$

وبالاستخدام المعادلات (1-4) و (2-4) تم الحصول على قيمة عامل الماء والكفاءة كما في الجدول أدلاه.

وفي الحالة الثانية التي كانت فيها المسافة بين المصدر والخلية  $0.3 \text{ m}$  كانت قيمة  $A = 0.899 \text{ A}$  وقيمة  $V_{oc} = 0.221 \text{ V}$  عند شدة اشعاع داخل  $(0.1 \text{ mw/cm}^2)$

للحظ أن المسافة بين المصدر و الخلية الشمسية لها تأثير على كفاءة الخلية الشمسية عندما زادت المسافة زادت قيمة الكفاءة وهذا يرجع لأن ضوء الليزر انتشر في مساحة أكبر من سطح الخلية ، وعلى العكس تماما عندما نقصت المسافة قلت الكفاءة لأن شعاع الليزر تركز في نقطة محددة على سطح الخلية.

إن تشيع خلية شمسية بضوء ليزر  $\text{He} - \text{Ne}$  بأسلوب مستمر يعني أن هناك زيادة في درجة حرارة الخلية وهذه الحرارة لها تأثير على فجوة الطاقة Energy gap إذ أن زيادة درجة حرارة الخلية يؤدي إلى نقصان فجوة الطاقة وكلما قل عرض الفجوة يزداد امتصاص الضوء وبذلك تيار الدائرة القصيرة  $I_{sc}$  يزداد، ولوحظ كذلك نقصان قيمة فولتية الدائرة المفتوحة  $V_{oc}$  مما يؤدي إلى خفض القدرة الخارجية ولكن ما زالت قيمة الكفاءة أكبر .

#### 4-8) الخلاصة:

بعد إجراء التجربة لوحظ وجود تحسن في أداء الخلية الشمسية وكفائتها في حالة التشعيع بضوء ليزر ويعزى هذا التحسن إلى عمق إخراق أشعة الليزر من سطح الخلية إذ يؤدي إلى إمكانية توليد أزواج إلكترون فجوة في المنطقة القريبة من الوصلة مما يؤدي إلى زيادة عدد الحاملات الأقلية وتقليل الخسائر ومن ثم سوف تزداد كفاءة الخلية .

#### 4-9) التوصيات :

العمل على تطوير وتحسين اداء الخلية الشمسية بإستخدام الليزر لزيادة كفاءة تحويل الطاقة.